

УДК 539.3

DOI: [https://doi.org/10.54341/20778708\\_2022\\_2\\_51\\_31](https://doi.org/10.54341/20778708_2022_2_51_31)

EDN: QSYVXB

## ТЕРМОУПРУГИЙ ИЗГИБ КРУГОВОЙ ТРЕХСЛОЙНОЙ ПЛАСТИНЫ, СВЯЗАННОЙ С ОСНОВАНИЕМ ПАСТЕРНАКА

А.Г. Козел

*Белорусский государственный университет транспорта, Гомель*

## THERMAL ELASTIC BENDING OF A CIRCULAR THREE-LAYER PLATE, ASSOCIATED WITH THE PASTERNAK FOUNDATION

A.G. Kozel

*Belarusian State University of Transport, Gomel*

**Аннотация.** Рассмотрен осесимметричный изгиб упругой трехслойной круговой пластины, связанной с основанием Пастернака. Учтено воздействие температурного поля. Для описания кинематики несимметричного по толщине пакета пластины принята гипотеза ломанной нормали. Постановка задачи и ее решение проводится в цилиндрической системе координат. Система уравнений равновесия получена с помощью вариационного метода Лагранжа. Ее общее аналитическое решение выписано в перемещениях. Выполнен численный параметрический анализ напряженно-деформированного состояния трехслойной металлополимерной пластины при равномерно распределенной нагрузке. Показано существенное влияние температуры на напряжения в слоях.

**Ключевые слова:** термоупругость, основание Пастернака, трехслойная пластина.

**Для цитирования:** Козел, А.Г. Термоупругий изгиб круговой трехслойной пластины, связанной с основанием Пастернака / А.Г. Козел // Проблемы физики, математики и техники. – 2022. – № 2 (51). – С. 31–37. – DOI: [https://doi.org/10.54341/20778708\\_2022\\_2\\_51\\_31](https://doi.org/10.54341/20778708_2022_2_51_31) – EDN: QSYVXB

**Abstract.** An axisymmetric bending of an elastic three-layer circular plate connected to the Pasternak foundation is considered. The effect of the temperature field is taken into account. To describe the kinematics of a plate package asymmetric in thickness, the hypothesis of a broken normal is accepted. The statement of the problem and its solution are carried out in a cylindrical coordinate system. The system of equilibrium equations was obtained using the Lagrange variational method. Its general analytical solution is written out in displacements. A numerical parametric analysis of the stress-strain state of a three-layer metal-polymer plate under a uniformly distributed load has been carried out. The significant influence of temperature on the stresses in the layers is shown.

**Keywords:** thermoelasticity, Pasternak foundation, three-layer plate.

**For citation:** Kozel, A.G. Thermal elastic bending of a circular three-layer plate, associated with the Pasternak foundation / A.G. Kozel // Problems of Physics, Mathematics and Technics. – 2022. – № 2 (51). – P. 31–37. – DOI: [https://doi.org/10.54341/20778708\\_2022\\_2\\_51\\_31](https://doi.org/10.54341/20778708_2022_2_51_31) (in Russian). – EDN: QSYVXB

### Введение

В настоящее время в машиностроении, приборостроении и строительстве широко применяются композиционные элементы конструкций. Слоистые композиты, в том числе трехслойные, обладают высокой изгибной жёсткостью и прочностью при относительно небольшой массе по сравнению с традиционными листовыми материалами. Трехслойные конструкции обычно выполняют из внешних прочных слоев малой толщины, связанных между собой внутренним, менее прочным и относительно толстым заполнителем. За счет легкого внутреннего слоя обеспечивается совместная работа и устойчивость всей слоистой системы. Для заполнителя используют различные пенопласты, сотовые структуры из металлической фольги или полимерной бумаги, гофровые или ячеистые формы и др. Для несущих слоёв применяют металлические сплавы,

а также композиционные и комбинированные материалы.

Несмотря на то, что основы теории многослойных конструкций начали разрабатываться еще с середины прошлого столетия, эта область и сейчас актуальна и продолжает развиваться. Задачи статики и динамики слоистых элементов конструкций при комплексных силовых, тепловых и радиационных воздействиях с учетом реологических и пластических свойств материалов слоев рассмотрены в работах [1]–[8].

В статье [9] предложен подход к решению задачи деформирования слоистых элементов конструкций из неупругих материалов при сложных видах нагружения. Выполнено сравнение результатов решения стандартным и предложенным способом задачи о циклическом растяжении трехслойных пластин с линейно упругими внешними слоями и вязкоупругим заполнителем.

Изгиб круговых трехслойных пластин со сжимаемым наполнителем под действием осесимметричных нагрузок произвольного вида исследовалось в работах [10], [11]. Влияние сжимаемости наполнителя на изгиб прямоугольных пластин, в том числе с учетом температуры, изучено в статьях [12], [13]. В обоих случаях аналитические решения получены в конечном виде. Численный анализ напряженно-деформированного состояния исследуемых пластин выполнен в зависимости от геометрических и упругих параметров слоев, величины и вида нагрузок.

В работах [14], [15] рассмотрено деформирование круговой трехслойной пластины в своей плоскости под действием осесимметричных и неосесимметричных термосиловых нагрузок.

Изгиб сэндвич-панелей под действием термомеханических нагрузок исследован в статьях [16], [17]. Внешние слои пластины имеют двухкомпонентное (металлокерамическое) распределение материала по толщине, внутренний слой однороден и изготовлен из изотропного керамического материала. Предполагается, что модуль упругости, коэффициент Пуассона и коэффициент теплового расширения материала слоя изменяются по степенному закону. Получены точные аналитические решения. Численно исследовано влияние термомеханических нагрузок и других параметров на безразмерные прогибы, осевые и поперечные касательные напряжения.

В статье [18] выполнена постановка и приведена методика решения задачи об осесимметричном деформировании несимметричной по толщине упругой трехслойной полой оболочки, находящейся под действием равномерно распределенной и параболической нагрузок. Учтена работа наполнителя в тангенциальном направлении, влияние температурного поля на НДС оболочки.

Большое количество работ в данной области посвящено исследованию деформирования трехслойных пластин, стержней и оболочек, связанных с упругим основанием. В большей части работ при описании реакции основания используется однопараметрическая модель Винклера. Деформирование композитной пластины на упругом основании под действием локальных нагрузок исследовано в статье [19]. В работе [20] рассмотрен термоупругий изгиб упругопластической круговой трехслойной пластины с легким наполнителем, связанной с упругим основанием. Уравнения равновесия получены с помощью вариационного метода Лагранжа, учтена работа наполнителя в тангенциальном направлении. Аналитические решения задачи теории малых упругопластических деформаций получены методом упругих решений Ильюшина. Проведен численный параметрический анализ.

В статье [21] исследован термомеханический изгиб упругопластической круглой (сплошной или

кольцевой) многослойной пластины с легким наполнителем, опирающейся на упругое основание. Гипотезы ломаной нормали используются для описания кинематики несимметричного по толщине пакета пластин. Получена система уравнений равновесия и ее точное решение относительно перемещений. Численные результаты получены для многослойной кольцевой металлополимерной пластины.

Анализ ряда экспериментов с плитами, связанными с упругим основанием, показал, что применение двухпараметрической модели основания Пастернака лучше описывает взаимодействие конструкции и основания, чем однопараметрическая модель Винклера [22], [23].

Геометрически нелинейное деформирование произвольной кольцевой пластины с двумя функционально-градиентными пьезоэлектрическими слоями, покоящейся на основании Пастернака, исследовано в работе [24]. Принимается, что все механические и электрические свойства, кроме коэффициента Пуассона, могут непрерывно изменяться по толщине пластины в зависимости от степенной функции. Выведены общие нелинейные уравнения, получены численные результаты в зависимости от параметров основания, показателя неоднородности и граничных условий.

Изотермическое осесимметричное деформирование несимметричных по толщине упругих и упругопластических круговых трехслойных пластин, связанных с основанием Пастернака, исследовалось в статьях [25]–[28]. Нелинейный изгиб сэндвич-пластины рассмотрен в [29]. Сравнение постановок и решений краевых задач для трехслойных круговых пластин, связанных с основаниями Винклера и Пастернака проведено в статье [30]. Выполнено численное сравнение перемещений и напряжений, полученных по обоим моделям при равномерно распределенной нагрузке и жесткой заделке контура пластины.

В предлагаемой работе, в отличие от предыдущих публикаций автора, учтено воздействие температурного поля на напряженно-деформированное состояние упругой круговой трехслойной пластины на основании Пастернака. Приведено аналитическое решение, выполнен численный параметрический анализ влияния температуры на перемещения и напряжения.

### 1 Постановка краевой задачи

Постановка краевой задачи и её решение проведено в цилиндрической системе координат  $r, \varphi, z$ . Срединная плоскость наполнителя принята за координатную, ось  $z$  направлена вверх, перпендикулярно верхнему слою (рисунок 1.1). Для тонких несущих слоев толщиной  $h_1 \neq h_2$  принимаются гипотезы Кирхгофа. Для легкого достаточно толстого наполнителя ( $h_3 = 2c$ ) принимается модель Тимошенко, при этом деформированная

нормаль остается прямолинейной, не изменяет своей длины, но поворачивается на некоторый дополнительный угол  $\psi$ . Работа касательных напряжений в заполнителе не учитывается. На верхний слой пластины действует поперечная осесимметричная нагрузка  $q = q(r)$ . Связь реакции основания  $q_R$ , действующей на нижний слой пластины, и прогиба принимается согласно модели Пастернака [31]:

$$q_R(r) = -\kappa_0 w + t_f \Delta w, \quad (1.1)$$

где  $\kappa_0, t_f$  – коэффициенты сжатия и сдвига основания;  $w(r)$  – осадка (прогиб) поверхности основания;  $\Delta$  – оператор Лапласа в цилиндрической системе координат

$$\Delta w(r) = \frac{d^2 w}{dr^2} + \frac{1}{r} \frac{dw}{dr}.$$

Реакция основания направлена в сторону, противоположную прогибу.

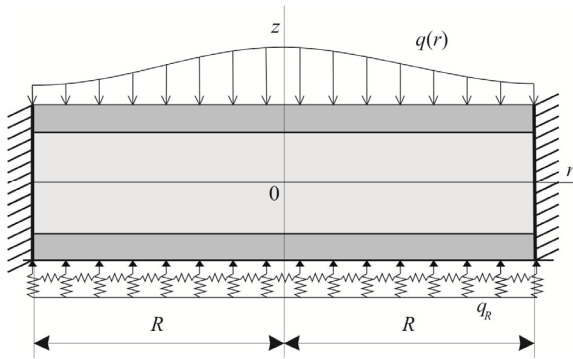


Рисунок 1.1 – Жесткое защемление контура трехслойной пластины на упругом основании

Радиальные перемещения линейно изменяются по толщине слоев, тангенциальные перемещения в слоях отсутствуют  $u_\varphi^{(k)} = 0$  ( $k = 1, 2, 3$  – номер слоя). Слои несжимаемы по толщине, поэтому в направлении оси  $z$  перемещения точек пластины равны прогибу срединной плоскости заполнителя:

$$u_z^{(k)} = w(r).$$

Прогиб пластины, относительный сдвиг в заполнителе и радиальное перемещение координатной плоскости не зависят от координаты  $\varphi$ , т. е.  $w = w(r), u = u(r), \psi = \psi(r)$ . В дальнейшем эти функции считаются искомыми. На контуре пластины предполагается наличие жесткой диафрагмы, препятствующей относительному сдвигу слоев ( $\psi(r) = 0$  при  $r = R, R$  – радиус пластины).

В соответствии с гипотезой прямолинейности нормали заполнителя сдвиговые деформации в нем будут:

$$2\varepsilon_{rz}^{(3)} = u_r^{(3)} - \psi_z + w_{,r} = \psi.$$

Проинтегрировав это выражение, получим выражения радиальных перемещений в слоях  $u_r^{(k)}$  через искомые функции

$$u_r^{(1)} = u + c\psi - zw_{,r} \quad (c \leq z \leq c + h_1),$$

$$u_r^{(3)} = u + z\psi - zw_{,r} \quad (-c \leq z \leq c),$$

$$u_r^{(2)} = u - c\psi - zw_{,r} \quad (-c - h_2 \leq z \leq -c), \quad (1.2)$$

где  $(u + c\psi)$  – величина смещения верхнего несущего слоя за счет деформации заполнителя;  $(u - c\psi)$  – величина смещения нижнего несущего слоя;  $z$  – координата рассматриваемого волокна.

Радиальные и окружные деформации в слоях следуют из (1.2) и соотношений Коши:

$$\varepsilon_r^{(1)} = u_{,r} + c\psi_{,r} - zw_{,rr},$$

$$\varepsilon_\varphi^{(1)} = \frac{1}{r}(u + c\psi - zw_{,r}), \quad \varepsilon_{rz}^{(1)} = 0,$$

$$\varepsilon_r^{(2)} = u_{,r} - c\psi_{,r} - zw_{,rr},$$

$$\varepsilon_\varphi^{(2)} = \frac{1}{r}(u - c\psi - zw_{,r}), \quad \varepsilon_{rz}^{(2)} = 0,$$

$$\varepsilon_r^{(3)} = u_{,r} + z\psi_{,r} - zw_{,rr},$$

$$\varepsilon_\varphi^{(3)} = \frac{1}{r}(u + z\psi - zw_{,r}), \quad \varepsilon_{rz}^{(3)} = \frac{1}{2}\psi. \quad (1.3)$$

Физические уравнения связи напряжений и деформаций (1.3) принимаются в виде:

$$s_\alpha^{(k)} = 2G_k(T_k)\varepsilon_\alpha^{(k)}, \quad s_{rz}^{(3)} = 2G_3(T_3)\varepsilon_{rz}^{(3)}, \quad (\alpha = r, \varphi)$$

$$\sigma^{(k)} = 3K_k(T_k)(\varepsilon^{(k)} - \alpha_{0k}\Delta T_k), \quad (1.4)$$

где  $s_\alpha^{(k)}, \sigma^{(k)}$  – девиаторная и шаровая части тензора напряжений  $k$ -го слоя;  $\varepsilon_\alpha^{(k)}, \varepsilon^{(k)}$  – девиаторная и шаровая часть тензора деформаций;  $s_{rz}^{(3)}, \varepsilon_{rz}^{(3)}$  – касательное напряжение и угловая деформация в заполнителе;  $G_k(T_k), K_k(T_k)$  – температурозависимые модули сдвиговой и объёмной деформации материалов слоев;  $\alpha_{0k}$  – коэффициент линейного температурного расширения;  $\Delta T_k$  – приращение температуры, отсчитываемое от некоторого начального значения  $T_0$ .

Компоненты тензора напряжений в слоях, используя соотношения (1.2), представим в виде разницы силовой (индекс «e») и температурной (индекс «t») составляющих:

$$\sigma_\alpha^{(k)} = \sigma_{\alpha e}^{(k)} - \sigma_t^{(k)},$$

$$\sigma_{\alpha e}^{(k)} = 2G_k(T_k)\varepsilon_\alpha^{(k)} + 3K_k(T_k)\varepsilon^{(k)},$$

$$\sigma_t^{(k)} = 3K_k(T_k)\alpha_{0k}\Delta T_k. \quad (1.5)$$

Введем внутренние обобщенные усилия и моменты

$$T_\alpha \equiv \sum_{k=1}^3 T_\alpha^{(k)} = \sum_{k=1}^3 \int_{h_k} \sigma_\alpha^{(k)} dz,$$

$$M_\alpha \equiv \sum_{k=1}^3 M_\alpha^{(k)} = \sum_{k=1}^3 \int_{h_k} \sigma_\alpha^{(k)} r dz, \quad (1.6)$$

$$H_\alpha = M_\alpha^{(3)} + c(T_\alpha^{(1)} - T_\alpha^{(2)}).$$

Используя выражения (1.5) выделим во внутренних усилиях (1.6) силовую и температурную составляющие:

$$T_\alpha^{(k)} = T_{\alpha e}^{(k)} - T_t^{(k)} = \sum_{k=1}^3 T_{\alpha e}^{(k)} - \sum_{k=1}^3 T_t^{(k)} =$$

$$\begin{aligned}
 &= \sum_{k=1}^3 \int_{h_k} \sigma_{ae}^{(k)} dz - \sum_{k=1}^3 \int_{h_k} \sigma_t^{(k)} dz, \\
 M_\alpha^{(k)} &= M_{ae}^{(k)} - M_t^{(k)} = \sum_{k=1}^3 M_{ae}^{(k)} - \sum_{k=1}^3 M_t^{(k)} = \\
 &= \sum_{k=1}^3 \int_{h_k} \sigma_{ae}^{(k)} z dz - \sum_{k=1}^3 \int_{h_k} \sigma_t^{(k)} z dz, \\
 H_{ae} &= M_{ae}^{(3)} + c(T_{ae}^{(1)} - T_{ae}^{(2)}), \\
 H_t &= M_t^{(3)} + c(T_t^{(1)} - T_t^{(2)}). \quad (1.7)
 \end{aligned}$$

Принимаем, что на контуре пластины могут действовать внешние погонные силы  $T_r^0$ ,  $Q^0$  и моменты  $H_r^0$ ,  $M_r^0$ .

С помощью вариационного принципа Лагранжа, используя выражения (1.1), (1.7), получим систему дифференциальных уравнений равновесия в усилиях, описывающую равновесие рассматриваемой пластины, совпадающую с приведенной в [25]:

$$\begin{aligned}
 T_{r,r} + \frac{1}{r}(T_r - T_\varphi) &= 0, \\
 H_{r,r} + \frac{1}{r}(H_r - H_\varphi) &= 0,
 \end{aligned}$$

$$M_{r,rr} + \frac{1}{r}(2M_{r,r} - M_{\varphi,r}) + t_f \Delta w - \kappa_0 w = -q, \quad (1.8)$$

где для простоты индекс «e» опущен.

Задача замыкается присоединением граничных термосиловых условий на контуре пластины ( $r = R$ )

$$\begin{aligned}
 T_r &= T_r^0 + T_t, \quad H_r = H_r^0 + H_t, \quad M_r = M_r^0 + M_t, \\
 M_{r,r} + \frac{1}{r}(M_r - M_\varphi) &= Q^0. \quad (1.9)
 \end{aligned}$$

Стоит отметить, что температура в явном виде входит только в силовые граничные условия (1.9). В уравнения (1.8) она не включена, так как производные от температурных слагаемых по радиусу равны нулю, а в разностных членах соответствующие добавки взаимно сокращаются.

Выразив внутренние усилия в системе уравнений (1.8) через перемещения, получим систему дифференциальных уравнений равновесия в перемещениях:

$$\begin{aligned}
 L_2(a_1 u + a_2 \psi - a_3 w_{,r}) &= 0, \\
 L_2(a_2 u + a_4 \psi - a_5 w_{,r}) &= 0,
 \end{aligned}$$

$$L_3(a_3 u + a_5 \psi - a_6 w_{,r}) + t_f \Delta w - \kappa_0 w = -q, \quad (1.10)$$

где  $L_2$ ,  $L_3$  – линейные дифференциальные операторы

$$L_2(g) \equiv \left( \frac{1}{r}(rg) \right)_{,r} \equiv g_{,rr} + \frac{g_{,r}}{r} - \frac{g}{r^2},$$

$$L_3(g) \equiv \frac{1}{r}(rL_2(g))_{,r} \equiv g_{,rrr} + \frac{2g_{,rr}}{r} - \frac{g_{,r}}{r^2} + \frac{g}{r^3};$$

$a_i$  – коэффициенты, учитывающие геометрические параметры, зависимость модулей упругости материалов слоев от температуры

$$a_1 = \sum_{k=1}^3 K_{k0}, \quad a_2 = c(K_{10} - K_{20}), \quad a_3 = \sum_{k=1}^3 K_{k1},$$

$$a_4 = K_{32} + c^2(K_{10} + K_{20}),$$

$$a_5 = K_{32} + c(K_{11} - K_{21}), \quad a_6 = \sum_{k=1}^3 K_{k2},$$

$$K_{km} = \int_{h_k} \left( K_k(T_k) + \frac{4}{3} G_k(T_k) \right) z^m dz, \quad (m = 0, 1, 2).$$

К системе (1.10) следует добавить граничные условия в перемещениях. Например, в случае жесткой заделки контура пластины при  $r = R$

$$u = 0, \quad \psi = 0, \quad w = 0, \quad w_{,r} = 0. \quad (1.11)$$

Здесь также температура в явном виде в краевую задачу (1.10), (1.11) не входит.

## 2 Общее решение краевой задачи

Рассмотрим процедуру решения системы уравнений (1.10). В силу ее линейности, с помощью первого уравнения исключаем из второго и третьего уравнений функцию  $u$ . Использование полученного второго уравнения позволяет исключить из первого и третьего функцию  $\psi$ . После двукратного интегрирования полученных первых двух уравнений и некоторых преобразований третьего имеем:

$$\begin{aligned}
 u &= b_1 w_{,r} + C_1 r + \frac{C_2}{r}, \quad \psi = b_2 w_{,r} + C_3 r + \frac{C_4}{r}, \\
 w_{,rrrr} + \frac{2}{r} w_{,rrr} - \frac{1}{r^2} w_{,rr} + \frac{1}{r^3} w_{,r} - \\
 - t_f D(w_{,rr} + \frac{1}{r} w_{,r}) + \kappa_0 D w &= q D, \quad (2.1)
 \end{aligned}$$

где  $C_1, C_2, C_3, C_4$  – константы интегрирования;  $b_1, b_2, D$  – параметры, зависящие от температуры, через коэффициенты  $a_i$

$$b_1 = \frac{a_3 a_4 - a_2 a_5}{a_1 a_4 - a_2^2}, \quad b_2 = \frac{a_1 a_5 - a_2 a_3}{a_1 a_4 - a_2^2},$$

$$D = \frac{a_1(a_1 a_4 - a_2^2)}{(a_1 a_6 - a_3^2)(a_1 a_4 - a_2^2) - (a_1 a_5 - a_2 a_3)^2}.$$

Решение третьего уравнения системы (2.1) получено по методике, предложенной в [28]:

$$\begin{aligned}
 w &= C_5 J_0(\sqrt{a} \kappa r) + C_6 H_0^{(1)}(\sqrt{a} \kappa r) + \\
 &+ C_7 J_0(\sqrt{\bar{a}} \kappa r) + C_8 H_0^{(2)}(\sqrt{\bar{a}} \kappa r) + w_p(r), \quad (2.2)
 \end{aligned}$$

где  $J_0(\sqrt{a} \kappa r)$ ,  $J_0(\sqrt{\bar{a}} \kappa r)$  – функции Бесселя первого рода, нулевого порядка;  $H_0^{(1)}(\sqrt{a} \kappa r)$ ,  $H_0^{(2)}(\sqrt{\bar{a}} \kappa r)$  – функции Ханкеля первого и второго рода, нулевого порядка;  $a$  и  $\bar{a}$  – коэффициенты, зависящие от характеристик упругого основания [28];  $\kappa^4 = \kappa_0 D$ ,  $w_p(r)$  – частное решение третьего уравнения (2.1).

Исходя из условия ограниченности перемещений в начале координат, в решениях (2.1), (2.2) для сплошных пластин необходимо положить  $C_2 = C_4 = C_6 = C_8 = 0$ .

### 3 Изгиб пластины равномерно распределенной нагрузкой

Рассмотрим изгиб сплошной упругой трехслойной круговой пластины радиуса  $R$ , связанной с основанием Пастернака, под действием равномерно распределенной нагрузки интенсивности  $q = q_0 = \text{const}$ .

Частное решение третьего уравнения (2.1) может быть принято в виде

$$w_p(r) = \frac{q_0}{\kappa_0}. \quad (3.1)$$

Тогда решение системы уравнений (2.1), с учетом (3.1) и ограниченности перемещений в начале координат, можно записать в виде:

$$\begin{aligned} u &= b_1 w_{,r} + C_1 r, \quad \psi = b_2 w_{,r} + C_3 r, \\ w &= C_5 J_0(\sqrt{a} \kappa r) + C_7 J_0(\sqrt{a} \kappa r) + \frac{q_0}{\kappa_0}. \end{aligned} \quad (3.2)$$

Константы интегрирования  $C_1, C_3, C_5, C_7$  следуют из условий закрепления контура пластины.

Используя (1.11), при заделке контура пластины, имеем следующие константы интегрирования

$$\begin{aligned} C_1 &= C_3 = 0, \\ C_5 &= \\ &= q_0 \sqrt{a} J_1(\sqrt{a} \kappa R) / \left( \kappa_0 \left[ \sqrt{a} J_1(\sqrt{a} \kappa R) J_0(\sqrt{a} \kappa R) - \right. \right. \\ &\quad \left. \left. - \sqrt{a} J_1(\sqrt{a} \kappa R) J_0(\sqrt{a} \kappa R) \right] \right), \\ C_7 &= \\ &= q_0 \sqrt{a} J_1(\sqrt{a} \kappa R) / \left( \kappa_0 \left[ \sqrt{a} J_1(\sqrt{a} \kappa R) J_0(\sqrt{a} \kappa R) - \right. \right. \\ &\quad \left. \left. - \sqrt{a} J_0(\sqrt{a} \kappa R) J_1(\sqrt{a} \kappa R) \right] \right). \end{aligned} \quad (3.3)$$

Решение (3.2) с константами интегрирования (3.3) описывает термосиловые перемещения в упругой круговой трехслойной пластине при жесткой заделке ее контура, связанной с основанием Пастернака.

### 4 Численный параметрический анализ

Численная апробация решения выполнена для пластины, материалы слоев которой Д16Т–фторопласт-4–Д16Т. Геометрические параметры пластины  $R = 1$  м,  $h_1 = h_2 = 0,04$  м,  $h_3 = 0,4$  м. Термомеханические характеристики материалов слоев заимствованы из [8]. Величина интенсивности равномерно распределенной поверхностной нагрузки  $q_0 = 1$  МПа. Коэффициенты сжатия и сдвига основания:  $\kappa_0 = 100$  МПа/м,  $t_f = 1$  МПа·м. Пластина жестко закреплена по контуру.

Для описания зависимости модулей упругости несущих слоев от температуры используется формула, предложенная Дж. Ф. Беллом [3]:

$$\{G(T), K(T), E(T)\} = \{G(0), K(0), E(0)\} \varphi(T),$$

$$\varphi(T) = \begin{cases} 1, & 0 < T/T_m \leq 0,06, \\ 1,03(1 - T/(2T_m)), & 0,06 < T/T_m \leq 0,57, \end{cases}$$

где  $T_m$  – температура плавления материала,  $K; G(0), K(0), E(0)$  – значения модулей упругости при нулевой температуре, Па (например, при температуре  $T_0 G(0) = G_0 / \varphi(T_0)$ ).

Зависимость параметров упругости полимерного материала (заполнителя) от температуры принимается в виде [3]

$$\{G(T), K(T)\} = \{G(0), K(0)\} / \varphi_1(T),$$

$$\varphi_1(T) = \left( 1 + B [\Delta T / T_m]^n \operatorname{sgn} \Delta T \right),$$

где  $\Delta T = T - T_0$ ,  $T_0$  – начальная температура,  $K; G_0, K_0$  – значения параметров при температуре  $T_0$ .

На рисунке 4.1 *а, б* показано изменение вдоль радиуса прогиба  $w(r)$  и сдвига в заполнителе  $\psi(r)$  рассматриваемой пластины при различной температуре слоев: 1 –  $T = 293$  К, 2 –  $T = 313$  К, 3 –  $T = 333$  К. Температурное воздействие на пластину приводит к незначительному увеличению перемещений, что объясняется жесткостью заделки пластины.

Рисунок 4.2 иллюстрирует изменение радиальных напряжений по толщине упругой трехслойной пластины в центре (*а*) и на ее контуре (*б*)

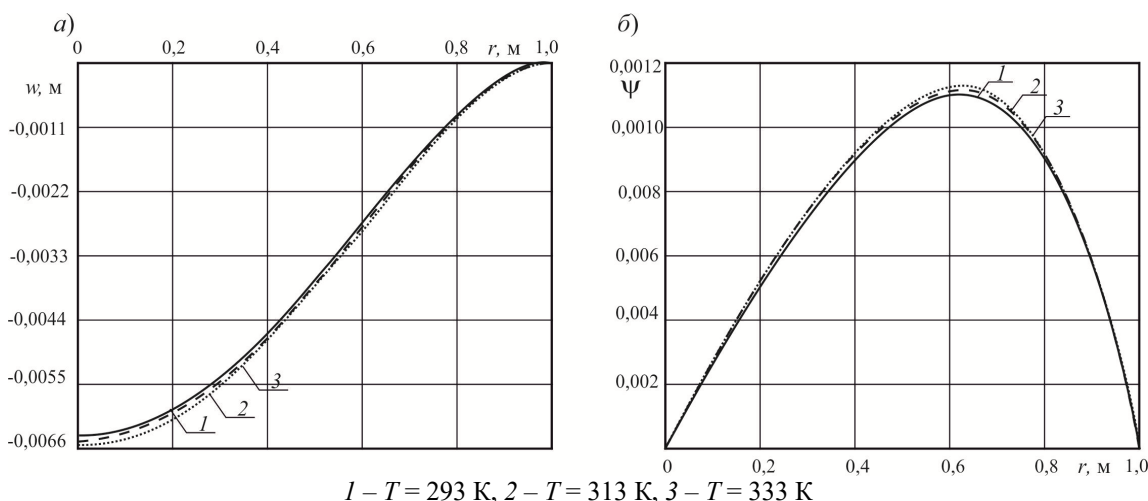


Рисунок 4.1 – Изменение прогиба и сдвига в заполнителе трехслойной пластины

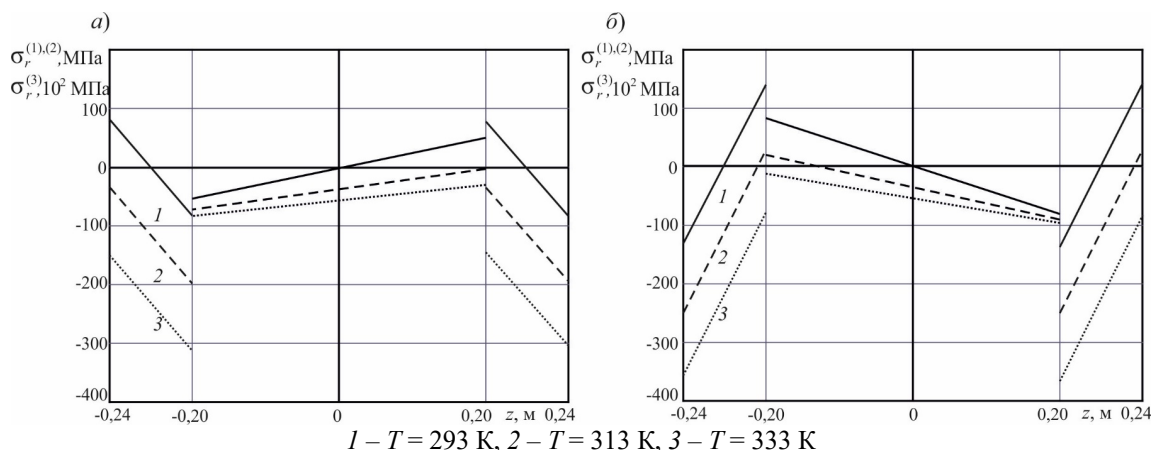


Рисунок 4.2 – Изменение радиальных напряжений по толщине пластины в центре (а) и на контуре (б)

при различной температуре слоев: 1 –  $T = 293$  К, 2 –  $T = 313$  К, 3 –  $T = 333$  К. Для наглядности напряжения в заполнителе увеличены в 100 раз. В слоях напряжения под действием температуры смещаются в отрицательную область. На контуре пластины при повышении температуры на 20 К максимальные напряжения в несущих слоях увеличились по модулю на 80%, в заполнителе – до 76%. При увеличении температуры на 40 К рост напряжений составил 160% и 123% соответственно.

На рисунке 4.3 показано изменение касательных напряжений в заполнителе. Несмотря на то, что сдвиговые деформации незначительно увеличиваются при росте температуры, касательные напряжения уменьшаются. Это объясняется уменьшением величины модуля сдвига  $G_3$ . При увеличении температуры на 20 К напряжения уменьшились на – 31,5%, 40 К – 48%.

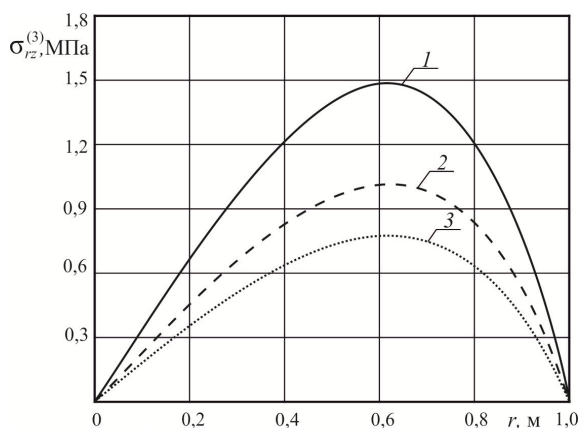


Рисунок 4.3 – Изменение касательных напряжений в заполнителе

Можно отметить, что температурное воздействие на пластину приводит к незначительному увеличению перемещений. В то же время, изменение напряжений при росте температуры существенно.

### Заключение

В работе построена математическая модель расчета напряжений и перемещений при изгибе упругой трехслойной круговой пластины, связанной с основанием Пастернака. Разработанный подход можно применять для нахождения этих параметров различных материалов с учетом температуры.

### ЛИТЕРАТУРА

1. Болотин, В.В. Механика многослойных конструкций / В.В. Болотин, Ю.Н. Новичков. – Москва: Машиностроение, 1980. – 375 с.
2. Можаровский, В.В. Прикладная механика слоистых тел из композитов / В.В. Можаровский, В.Е. Старжинский. – Минск: Навука і тэхніка, 1988. – 271 с.
3. Горшков, А.Г. Механика слоистых вязкоупругопластических элементов конструкций / А.Г. Горшков, Э.И. Старовойтов, А.В. Яровая. – Москва: Физматлит, 2005. – 576 с.
4. Aghalovyan, L. Asymptotic theory of anisotropic plates and shells / L. Aghalovyan. – Singapore – London: World Scientific Publishing, 2015. – 376 p.
5. Carrera, E. Thermal Stress Analysis of Composite Beams, Plates and Shells: Computational Modelling and Applications / E. Carrera, F.A. Fazzolari, M. Cinefra. – Academic Press. – 2016. – 410 p.
6. Журавков, М.А. Механика сплошных сред. Теория упругости и пластичности / М.А. Журавков, Э.И. Старовойтов. – Минск: БГУ, 2011. – 543 с.
7. Старовойтов, Э.И. Трехслойные стержни в терморadiационных полях / Э.И. Старовойтов, М.А. Журавков, Д.В. Леоненко. – Минск: Бел. навука, 2017. – 275 с.
8. Gorshkov, A.G. Harmonic Vibrations of a Viscoelastoplastic Sandwich Cylindrical Shell / A.G. Gorshkov, É.I. Starovoitov, A.V. Yarovaya // International applied mechanics. – 2001. – Vol. 37, № 9. – P. 1196–1203.
9. Паймушин, В.Н. Об одном методе решения задач о неупругом деформировании слоистого композита / В.Н. Паймушин, Р.А. Каюмов,

- С.А. Холмогоров // Известия высших учебных заведений. Математика. – 2021. – № 6. – С. 55–66.
10. Старовойтов, Э.И. Изгиб упругопластической круговой трехслойной пластины со сжимаемым заполнителем / Э.И. Старовойтов, Ю.В. Захарчук // Механика композиционных материалов и конструкций. – 2020. – Т. 26, № 1. – С. 58–73.
11. Захарчук, Ю.В. Деформирование круговой трехслойной пластины со сжимаемым заполнителем / Ю.В. Захарчук // Проблемы физики, математики и техники. – 2017. – № 4 (33). – С. 53–57.
12. Зеленая, А.С. Цилиндрический изгиб упругопластической прямоугольной трехслойной пластины со сжимаемым заполнителем в температурном поле / А.С. Зеленая // Проблемы физики, математики и техники. – 2019. – № 1 (38). – С. 45–49.
13. Зеленая, А.С. Термоупругий изгиб трехслойной прямоугольной пластины со сжимаемым заполнителем / А.С. Зеленая // Механика. Исследования и инновации: междунар. сб. науч. тр. – Гомель: БелГУТ, 2018. – Вып. 11. – С. 93–100.
14. Нестерович, А.В. Неосесимметричное термосиловое деформирование круговой трехслойной пластины / А.В. Нестерович // Проблемы физики, математики и техники. – 2016. – № 2 (27). – С. 54–61.
15. Нестерович, А.В. Осесимметричное нагружение круглой физически нелинейной трехслойной пластины в своей плоскости / А.В. Нестерович // Проблемы физики, математики и техники. – 2021. – № 3 (48). – С. 24–29.
16. Zenkour, A.M. Thermomechanical bending response of functionally graded nonsymmetric sandwich plates / M.A. Zenkour, N.A. Alghamdi // Journal of Sandwich Structures and Materials. – 2010. – Vol. 12, № 1. – P. 7–46.
17. Zenkour, A.M. Bending Analysis of Functionally Graded Sandwich Plates under the Effect of Mechanical and Thermal Loads / A.M. Zenkour, N.A. Alghamdi // Mechanics of Advanced Materials and Structures. – 2010. – Vol. 17, № 6. – P. 419–432.
18. Старовойтов, Э.И. Термосиловое нагружение трехслойных пологих оболочек / Э.И. Старовойтов // Известия АН СССР. Механика твердого тела. – 1989. – № 5. – С. 114–119.
19. Starovoitov, E.I. Deformation of a composite plate on an elastic foundation by local loads / E.I. Starovoitov, D.V. Leonenko, M. Suleyman // Mechanics of Composite Materials. – 2007. – Vol. 43, № 1. – P. 75–84.
20. Яровая, А.В. Термоупругопластическое деформирование круговой трехслойной пластины на упругом основании / А.В. Яровая // Математическое моделирование, компьютерный и натуральный эксперимент в естественных науках. – 2017. – № 1. – Режим доступа: <http://mathmod.esrae.ru/11-31>. – Дата доступа: 12.01.2022.
21. Leonenko, D.V. Thermoplastic strain of circular sandwich plates on an elastic base / D.V. Leonenko, E.I. Starovoitov // Mech. Solids. – 2009. – Vol. 44, № 5. – P. 744–755.
22. Fwa, T.F. Use of Pasternak foundation model in concrete pavement analysis / T.F. Fwa, X.P. Shi, S.A. Tan // Journal of transportation engineering. – 1996. – Vol. 122, № 4. – P. 323–328.
23. Katsikadelis, J.T. Clamped plates on Pasternak-type elastic foundation by the boundary element method / J.T. Katsikadelis, L.F. Kallivokas // Journal of Applied Mechanics. – 1986. – Vol. 53. – P. 909–917.
24. Arefi, M. Nonlinear responses of an arbitrary FGP circular plate resting on the Winkler-Pasternak foundation / M. Arefi, M.N.M. Allam // Smart Structures and Systems. – 2015. – Vol. 16, № 1. – P. 81–100.
25. Козел, А.Г. Математическая модель деформирования круговой трёхслойной пластины на основании Пастернака / А.Г. Козел // Проблемы физики, математики и техники. – 2017. – № 1 (30). – С. 42–46.
26. Козел, А.Г. Деформирование круговой трёхслойной пластины на основании Пастернака / А.Г. Козел // Теоретическая и прикладная механика: междунар. науч.-техн. сб. – Минск: БНТУ, 2017. – Вып. 32. – С. 235–240.
27. Козел, А.Г. Деформирование физически нелинейной трехслойной пластины на основании Пастернака / А.Г. Козел // Механика. Исследования и инновации: междунар. сб. науч. тр. – Гомель: БелГУТ, 2019. – Вып. 12. – С. 105–112.
28. Старовойтов, Э.И. Изгиб упругой трёхслойной круговой пластины на основании Пастернака / Э.И. Старовойтов, А.Г. Козел // Механика композиционных материалов и конструкций. – 2018. – Т. 24, №1. – С. 392–406.
29. Козел, А.Г. Нелинейный изгиб сэндвич-пластины на основании Пастернака / А.Г. Козел // Теоретическая и прикладная механика: междунар. науч.-техн. сб. – Минск: БНТУ, 2020. – Вып. 35. – С. 106–113.
30. Козел, А.Г. Сравнение решений задач изгиба трехслойных пластин на основаниях Винклера и Пастернака / А.Г. Козел // Механика машин, механизмов и материалов. – Минск. – 2021. – № 1 (54). – С. 30–37.
31. Пастернак, П.Л. Основы нового метода расчёта фундаментов на упругом основании при помощи двух коэффициентов постели / П.Л. Пастернак. – Москва: Госстройиздат. – 1954. – 56 с.

Поступила в редакцию 23.02.2022.

#### Информация об авторах

Козел Анастасия Григорьевна – к.ф.-м.н.